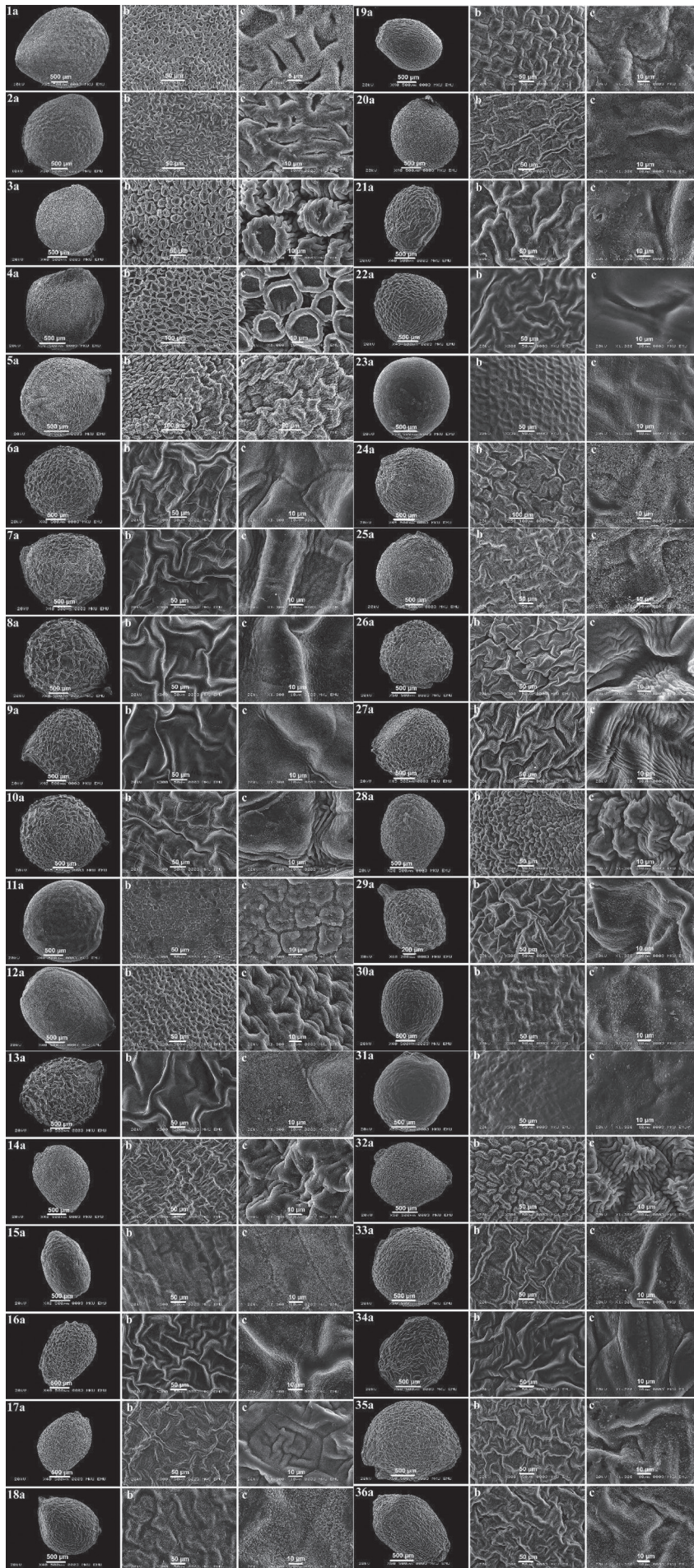


On-line Suppl. Fig. 1. Seeds of the studied taxa: 1- *M. macrocarpum* (orbicular), 2- *M. racemosum* (ovate-orbicular), 3- *M. caucasicum* (ovate), 4- *M. weissii* (orbicular), 5- *M. comosum* (orbicular), 6- *M. tenuiflorum* (ovate-orbicular), 7- *M. babachii* (ovate), 8- *M. erdalii* (ovate), 9- *M. longipes* (oblong-elliptic), 10- *M. massayanum* (ovate), 11- *M. mirum* (oblong-ovate), 12- *M. elmasii* (ovate), 13- *M. ufukii* (ovate), 14- *M. coeleste* (orbicular), 15- *M. azureum* (orbicular), 16- *M. aucheri* (orbicular), 17- *M. armeniacum* (ovate-orbicular), 18- *M. sivrihisardaghlarensis* (ovate-orbicular), 19- *M. neglectum* (elliptic), 20- *M. anaticum* (orbicular), 21- *M. tuzgoluensis* (orbicular), 22- *M. discolor* (orbicular), 23- *M. inconstictum* (orbicular), 24- *M. latifolium* (ovate-orbicular), 25- *M. adilii* (orbicular), 26- *M. bourgaei* (orbicular), 27- *M. sandrasicum* (orbicular), 28- *M. microstomum* (orbicular), 29- *M. macbeathianum* (elliptic-lanceolate), 30- *M. vuralii* (orbicular), 31- *M. parviflorum* (orbicular), 32- *M. serpentanicum* (orbicular), 33- *M. botryoides* (ovate), 34- *M. artvinense* (orbicular), 35- *M. atillae* (orbicular), 36- *M. turcicum* (orbicular) (scale bars = 1 mm).

**On-line Suppl. Fig. 2.**

The micromorphological structures of the studied taxa.

a= seed general view,

b and c=seed surfaces

1a-c: *M. macrocarpum* (reticulate),

2a-c: *M. racemosum* (reticulate),

3a-c: *M. caucasicum* (alveolate),

4a-c: *M. weissii* (alveolate),

5a-c: *M. comosum* (verrucate),

6a-c: *M. tenuiflorum* (reticulate-areolate),

7a-c: *M. babachii* (reticulate-areolate),

8a-c: *M. erdalii* (ruminante),

9a-c: *M. longipes* (ruminante),

10a-c: *M. massayanum* (ruminante),

11a-c: *M. mirum* (reticulate-areolate),

12a-c: *M. elmasii* (reticulate-foveate),

13a-c: *M. ufukii* (ruminante),

14a-c: *M. celeste* (ruminante),

15a-c: *M. azureum* (scalariform),

16a-c: *M. aucheri* (ruminante),

17a-c: *M. armeniacum* (reticulate-areolate),

18a-c: *M. sivrihisardaghlarensis* (rugose),

19a-c: *M. neglectum* (areolate),

20a-c: *M. anatolicum* (rugose),

21a-c: *M. tuzgoluensis* (ruminante),

22a-c: *M. discolor* (ruminante),

23a-c: *M. inconstictum* (reticulate),

24a-c: *M. latifolium* (ruminante),

25a-c: *M. adilii* (ruminante),

26a-c: *M. bourgaei* (ruminante),

27a-c: *M. sandasicum* (ruminante),

28a-c: *M. microstomum* (verrucate),

29a-c: *M. macbeathianum* (ruminante),

30a-c: *M. vuralii* (ruminante),

31a-c: *M. parviflorum* (ruminante),

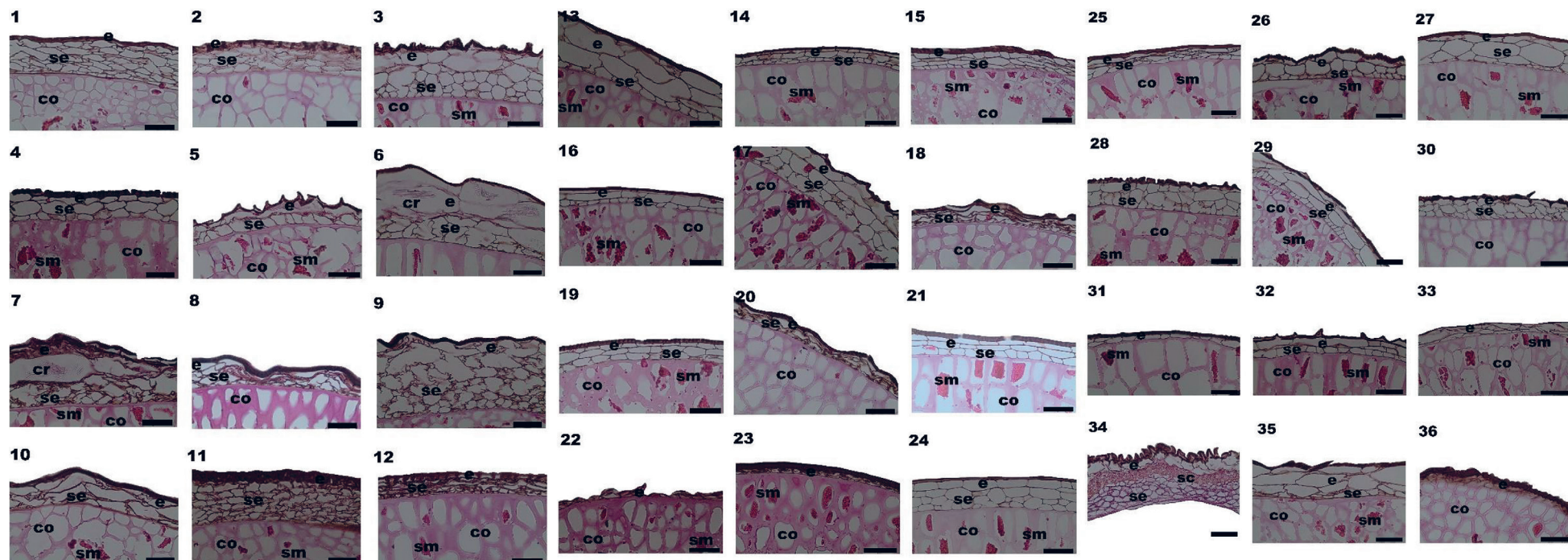
32a-c: *M. serpentanicum* (verrucate),

33a-c: *M. botryoides* (rugose),

34a-c: *M. artvinense* (rugose),

35a-c: *M. atillae* (ruminante),

36a-c: *M. turcicum* (ruminante)



On-line Suppl. Fig. 3. The testa structures of the studied taxa: 1- *M. macrocarpum*, 2- *M. racemosum*, 3- *M. caucasicum*, 4- *M. weissii*, 5- *M. comosum*, 6- *M. tenuiflorum*, 7- *M. babachii*, 8- *M. erdalii*, 9- *M. longipes*, 10- *M. massayanum*, 11- *M. mirum*, 12- *M. elmasii*, 13- *M. ufukii*, 14- *M. coeleste*, 15- *M. azureum*, 16- *M. aucheri*, 17- *M. armeniacum*, 18- *M. sivrihisardaghlarensis*, 19- *M. neglectum*, 20- *M. anatolicum*, 21- *M. tuzgoluensis*, 22- *M. discolor*, 23- *M. inconstictum*, 24- *M. latifolium*, 25- *M. adilii*, 26- *M. bourgaei*, 27- *M. sandrasicum*, 28- *M. microstomum*, 29- *M. macbeathianum*, 30- *M. vuralii*, 31- *M. parviflorum*, 32- *M. serpentanicum*, 33- *M. botryoides*, 34- *M. artvinense*, 35- *M. atillae*, 36- *M. turcicum* (e: epidermis, se: subepidermis, cr: crystals, co: cotyledon, sm: storage material, scale bars = 50 μ m).